

Synchrosqueezing appliqué aux ondes gravitationnelles

Duong-Hung PHAM* et Sylvain MEIGNEN†

*Labo des sciences de l'ingénieur, de l'informatique et de l'imagerie (ICube), Strasbourg

†Labo Jean Kuntzmann (LJK), Université Grenoble Alpes

Rencontre GdR ISIS-OG, Paris, France

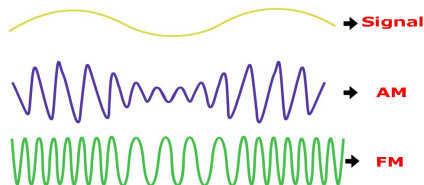
Lundi, 8 Octobre 2018

Plan de l'exposé

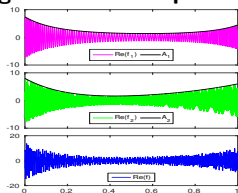
- 1 Contexte
- 2 Synchrosqueezing de la TFCT d'ordres supérieurs et une application aux ondes gravitationnelles
- 3 Perspectives

Contexte

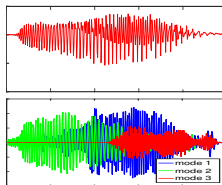
- **Modes AM/FM:** ondes modulées en amplitude et en fréquence



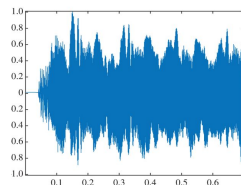
- **Signaux multicomposantes (SMCs):** superposition de modes AM/FM



(a) Un SMC synthétique



(b) Cris d'écho-location de chauve-souris



(c) Musique émise par un violoncelle

Contexte

- **Modèle mathématique** pour les SMCs:

$$f(t) = \sum_{k=1}^K f_k(t) = \sum_{k=1}^K A_k(t) e^{i2\pi\phi_k(t)}, \quad (1)$$

où $A_k(t)$ et ϕ'_k sont appelées amplitude instantanée (AI) et fréquence instantanée (FI): $A_k(t) > 0$, $\phi'_k(t) > 0$ et $\phi'_{k+1}(t) > \phi'_k(t) \forall t$.

- **Représentation temps-fréquence (TF) idéale:**

$$\text{TFI}_\zeta(t, \eta) = \sum_{k=1}^K A_k(t)^\zeta \delta(\eta - \phi'_k(t)), \quad \text{avec } \zeta = 1 \text{ ou } 2. \quad (2)$$

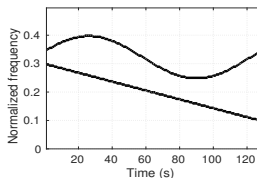
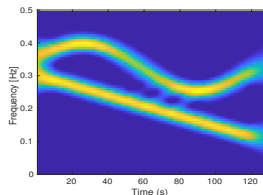


Figure 1: Représentation TF idéale (chirp linéaire + signal à phase trigonométrique)

Contexte

- En réalité, on a accès à des représentations du type (spectrogramme):



- Trois problèmes que l'on se propose d'étudier pour ce type de signaux:
 - ★ **Représentations** TF: approcher la représentation TF idéale.
 - ★ **Séparation**: reconstruire les modes f_k à partir de f .
 - ★ **Démodulation**: estimer A_k et ϕ_k .

Contexte

● Représentations TF linéaires

Définition 1: TF

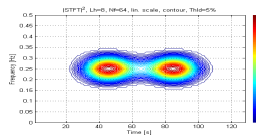
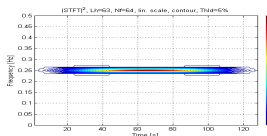
La transformée de Fourier de $f \in L^1(\mathbb{R})$ est: $\hat{f}(\eta) = \int_{\mathbb{R}} f(t)e^{-i2\pi\eta t} dt$. (3)

Définition 2: TFCT et spectrogramme

Soit $g \in L^2(\mathbb{R})$. La transformée de Fourier à court terme (TFCT) de $f \in L^1(\mathbb{R})$ associée à g est: $V_f^g(t, \eta) = \langle f, g_{t, \eta} \rangle = \int_{\mathbb{R}} f(\tau) \overline{g(\tau - t)} e^{-2i\pi\eta(\tau - t)} d\tau$. Le spectrogramme associé: $|V_f^g(t, \eta)|^2$.

● Propriétés de la TFCT

- ★ linéaire, redondante et inversible: $f(t) = \frac{1}{g(0)} \int_{\mathbb{R}} V_f^g(t, \eta) d\eta$.
- ★ soumise au **principe d'incertitude de Heisenberg-Gabor**: $\sigma_t \sigma_\eta \geq \frac{1}{2}$, où σ_t et σ_η sont les dispersions temporelles et fréquentielles de g ou ψ .



Contexte

- **Réallocation**^[1]: concentrer le spectrogramme en utilisant des **opérateurs de réallocation**.

- Estimateur de FI: $\hat{\omega}_f(t, \eta) = \frac{1}{2\pi} \partial_t \{ \arg(V_f^g(t, \eta)) \}$
- Retard de groupe: $\hat{\tau}_f(t, \eta) = t - \frac{1}{2\pi} \partial_\eta \{ \arg(V_f^g(t, \eta)) \}$

Définition 3: Réallocation du spectrogramme

Soit $f \in L^2(\mathbb{R})$, son spectrogramme réalloué est obtenu par:

$$\check{\Theta}_f^g(\tau, \omega) = \int_{\mathbb{R}} \int_{\mathbb{R}} |V_f^g(t, \eta)|^2 \delta(\tau - \hat{\tau}_f(t, \eta)) \delta(\omega - \hat{\omega}_f(t, \eta)) dt d\eta. \quad (4)$$

Réallocation est parfaite pour un chirp linéaire. Limitation: non-inversible!

- **Synchrosqueezing**: **réallocation inversible + une analyse mathématique**.

Définition 4: Synchrosqueezing de la TFCT (FSST)^[2]

Soit $f \in L^2(\mathbb{R})$, sa FSST est obtenue par:

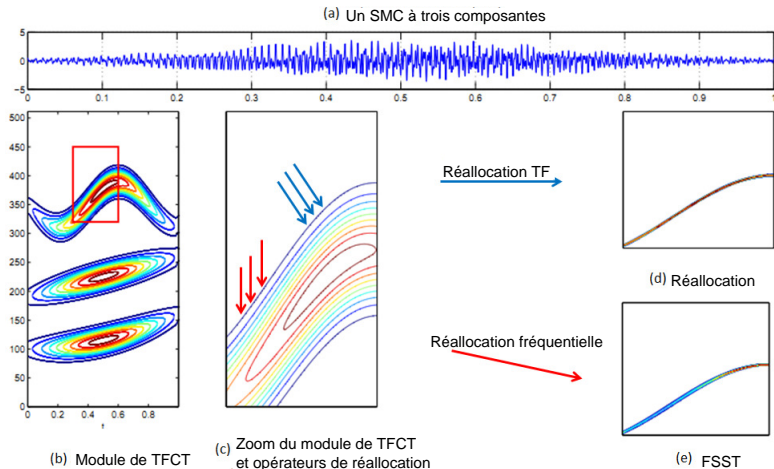
$$T_f^{g, \gamma}(t, \omega) = \int_{|V_f^g(t, \eta)| > \gamma} V_f^g(t, \eta) \delta(\omega - \hat{\omega}_f(t, \eta)) d\eta, \text{ où } \gamma \text{ est un seuil.} \quad (5)$$

^[1]F. Auger and P. Flandrin, "Improving the readability of time-frequency and time-scale representations by the reassignment method," *IEEE Transactions on Signal Processing*, vol. 43, no. 5, pp. 1068–1089, 1995.

^[2]G. Thakur and H.-T. Wu, Synchrosqueezing-based recovery of instantaneous frequency from nonuniform samples, *SIAM Journal on Mathematical Analysis*, vol. 43, p. 2078–2095, Jan 2011.

Contexte

● Principe de la réallocation et du synchrosqueezing (FSST)



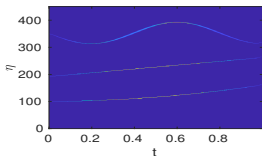
Contexte

Reconstruction des modes du synchrosqueezing à l'aide de la FSST:

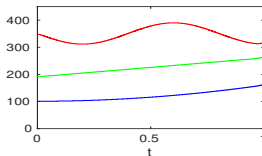
- 1 calculer l'opérateur de synchrosqueezing $T_f^{g,\gamma}$.
- 2 détecter et extraire les ridges associés à chaque mode en utilisant $|T_f^{g,\gamma}|$ [3].

- 3 reconstruire les modes:
$$f_k(t) \approx \frac{1}{g(0)} \int_{\{\omega, |\omega - \varphi_k(t)| < d\}} T_f^{g,\gamma}(t, \omega) d\omega$$
, où $\varphi_k(t)$

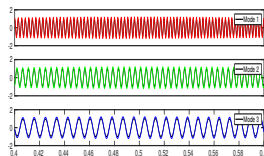
est une estimation de $\phi'_k(t)$ et d un paramètre de compensation.



(a): module de FSST



(b): ridges estimés



(c): modes reconstruits

Réallocation est parfaite pour une harmonique pure

Limitation: hypothèse de faible modulation fréquentielle sur les modes (i.e. $\phi_k''(t) \approx 0$)

[3] R. Carmona, W. Hwang, and B. Torresani, "Characterization of signals by the ridges of their wavelet transforms," *IEEE Transactions on Signal Processing*, vol. 45, no. 10, pp. 2586–2590, 1997.

Contexte

- **Synchrosqueezing d'ordre 2 de la TFCT (FSST2)^[4]: adaptation aux chirps linéaires**

Définition 5: Nouvel estimateur de FI

Soit $f \in L^2(\mathbb{R})$, on définit un opérateur de modulation complexe local d'ordre 2:

$$\tilde{q}_{t,f}(t, \eta) = \frac{\partial_t \tilde{\omega}_f(t, \eta)}{\partial_t \tilde{\tau}_f(t, \eta)} \quad \text{pour } \partial_t \tilde{\tau}_f(t, \eta) \neq 0. \quad (6)$$

puis on pose:

$$\tilde{\omega}_{t,f}^{[2]}(t, \eta) = \begin{cases} \tilde{\omega}_f(t, \eta) + \tilde{q}_{t,f}(t, \eta)(t - \tilde{\tau}_f(t, \eta)) & \text{si } \partial_t \tilde{\tau}_f \neq 0 \\ \tilde{\omega}_f(t, \eta) & \text{sinon,} \end{cases}$$

t.q. $\hat{\omega}_{t,f}^{[2]}(t, \eta) = \Re\{\tilde{\omega}_{t,f}^{[2]}(t, \eta)\}$ est un nouvel estimateur de FI.

Définition 6: Synchrosqueezing d'ordre 2 FSST2

Le synchrosqueezing d'ordre FSST2 est alors défini en remplaçant $\hat{\omega}_f(t, \eta)$ par $\hat{\omega}_{t,f}^{[2]}(t, \eta)$:

$$T_{2,f}^{g,\gamma}(t, \omega) = \int_{\{\eta, |V_f^g(t, \eta)| > \gamma\}} V_f^g(t, \eta) \delta(\omega - \hat{\omega}_{t,f}^{[2]}(t, \eta)) d\eta. \quad (7)$$

^[4]F. Auger, P. Flandrin, Y.-T. Lin, et al., Time-frequency reassignment and synchrosqueezing: An overview, *IEEE Signal Processing Magazine*, vol. 30, no. 6, pp. 32-41, 2013.

Contexte

- **Synchrosqueezing d'ordre 2 de la TFCT (FSST2):**

Proposition 1

Si f est un **chirp linéaire** d'amplitude Gaussienne modulée (i.e $f(t) = A(t)e^{i2\pi\phi(t)}$, $\log(A(t))$ et $\phi(t)$ quadratiques). Alors,

$$\Re\{\tilde{q}_{t,f}(t, \eta)\} = \phi''(t) \text{ et } \tilde{\omega}_{t,f}^{[2]}(t, \eta) = \phi'(t). \quad (8)$$

Proposition 2: Calcul des opérateurs de FSST2

Soit $f \in L^2(\mathbb{R})$, $\tilde{\omega}_f$, $\tilde{\tau}_f$ et $\tilde{q}_{t,f}$ sont calculés:

$$\tilde{\omega}_f = \eta - \frac{1}{i2\pi} \frac{V_f^{g'}}{V_f^g}, \quad \tilde{\tau}_f = t + \frac{V_f^{tg}}{V_f^g}, \quad \tilde{q}_{t,f} = \frac{1}{i2\pi} \frac{V_f^{g''} V_f^g - (V_f^{g'})^2}{V_f^{tg} V_f^{g'} - V_f^{tg'} V_f^g}, \quad (9)$$

où $V_f^{g'}$, V_f^{tg} , $V_f^{g''}$, $V_f^{tg'}$ sont respectivement les TFCTs de f calculées avec $t \mapsto g'(t)$, $tg(t)$, $g''(t)$ et $tg'(t)$.

Analyse mathématique rigoureuse: cas de support non-compact^[5]!

^[5]R. Behera, S. Meignen, and T. Oberlin, "Theoretical analysis of the second-order synchrosqueezing transform," *Applied and Computational Harmonic Analysis*, vol. 45, no. 2, pp. 379–404, 2018.

Plan de l'exposé

1 Contexte

2 Synchrosqueezing de la TFCT d'ordres supérieurs et une application aux ondes gravitationnelles

3 Perspectives

Synchrosqueezing de la TFCT d'ordres supérieurs (FSSTn)^[6]

- **Motivation:** la nécessité d'une nouvelle technique permettant de traiter des signaux contenant des modes AM-FM ayant $\phi_k^{(n)}(t)$ ($n \geq 3$) non-négligeable.
- **Exemple**

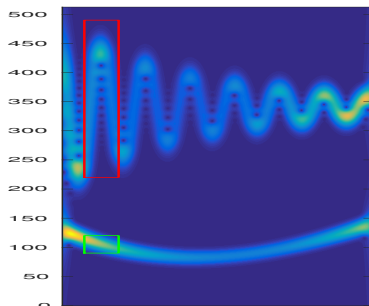


Figure 2: un SMC à deux composantes: phase polynomiale d'ordre supérieure et fonction sinusoïdale amortie (très forte modulations fréquentielles sinusoïdales)

^[6] D.-H. Pham and S. Meignen, High-order synchrosqueezing transform for multicomponent signals analysis - with an application to gravitational-wave signal, *IEEE Transactions on Signal Processing*, vol. 65, pp. 3168-3178, June 2017.

Synchrosqueezing de la TFCT d'ordres supérieurs (FSSTn)^[6]

• Développement du FSSTn

Définition 7: Modèle de signal

Soit $f(\tau) = A(\tau)e^{j2\pi\phi(\tau)} \in L^2(\mathbb{R})$ avec $A(\tau)$ (resp. $\phi(\tau)$) égal à son développement de Taylor d'ordre L (resp. N) pour $\tau \rightarrow t$:

$$\log(A(\tau)) = \sum_{k=0}^L \frac{[\log(A)]^{(k)}(t)}{k!} (\tau - t)^k \quad \text{et} \quad \phi(\tau) = \sum_{k=0}^N \frac{\phi^{(k)}(t)}{k!} (\tau - t)^k$$



Proposition 3: Nouvel estimateur de modulation d'ordre k

Soit $f \in L^2(\mathbb{R})$ satisfaisant la définition ci-dessus avec $L \leq N$, les $N-1$ opérateurs de modulation complexes locaux $\tilde{q}_{\eta,f}^{[k,M]}$ t.q. $\Re\{\tilde{q}_{\eta,f}^{[k,M]}(t,\eta)\} = \phi^{(k)}(t) / (k-1)!$,

$k = 2, \dots, N$, sont calculés: $\tilde{q}_{\eta,f}^{[N,M]}(t,\eta) = y_N(t,\eta)$

et $\tilde{q}_{\eta,f}^{[j,M]}(t,\eta) = y_j(t,\eta) - \sum_{k=j+1}^N x_{k,j}(t,\eta)\tilde{q}_{\eta,f}^{[k,M]}(t,\eta)$ pour $j = N-1, N-2, \dots, 2$,

où $y_j(t,\eta)$ et $x_{k,j}(t,\eta)$ sont définis dans^[6].

^[6]D.-H. Pham and S. Meignen, High-order synchrosqueezing transform for multicomponent signals analysis - with an application to gravitational-wave signal, *IEEE Transactions on Signal Processing*, vol. 65, pp. 3168-3178, June 2017.  

Synchrosqueezing de la TFCT d'ordres supérieurs (FSSTn)^[6]

Définition 8: Nouvel estimateur de FI

On définit un estimateur de FI complexe local d'ordre N par:

$$\tilde{\omega}_{\eta,f}^{[M]}(t,\eta) = \begin{cases} \tilde{\omega}_f(t,\eta) + \sum_{k=2}^N \tilde{q}_{\eta,f}^{[k,M]}(t,\eta) (-x_{k,1}(t,\eta)), & \text{if } V_f^g(t,\eta) \neq 0 \\ & \text{and } \partial_\eta x_{j,j-1}(t,\eta) \neq 0 \text{ for } j = 2 \dots N. \\ \tilde{\omega}_f(t,\eta) & \text{sinon.} \end{cases}$$

Alors, $\hat{\omega}_{\eta,f}^{[M]}(t,\eta) = \Re\{\tilde{\omega}_{\eta,f}^{[M]}(t,\eta)\}$ est un nouvel estimateur de FI.

Proposition 4

Soit $f \in L^2(\mathbb{R})$ satisfaisant la définition 7 avec $L \leq N$, alors $\phi'(t) = \hat{\omega}_{\eta,f}^{[M]}(t,\eta)$.

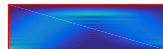
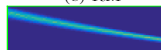
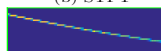
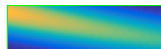
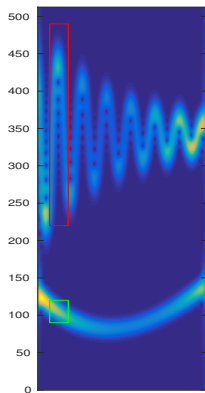
Définition 9: Synchrosqueezing de FSSTn

Le synchrosqueezing d'ordre supérieur FSSTn avec seuil γ est alors défini par:

$$T_{N,f}^{g,\gamma}(t,\omega) = \int_{|V_f^g(t,\eta)| > \gamma} V_f^g(t,\eta) \delta(\omega - \hat{\omega}_{\eta,f}^{[M]}(t,\eta)) d\eta. \quad (10)$$

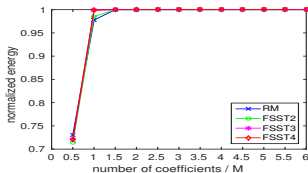
Synchrosqueezing de la TFCT d'ordres supérieurs (FSSTn)^[6]

- **Calcul des opérateurs de FSST4**: en utilisant 11 différentes TFCTs (pour la FSSTn: $3n-1$ de TFCTs).
- **Comparaison des représentations TF**

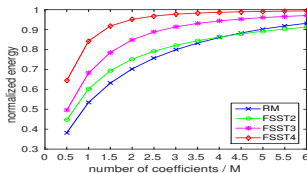


Synchrosqueezing de la TFCT d'ordres supérieurs (FSSTn)^[6]

- **Évaluation de concentration d'énergie** en utilisant de l'énergie normalisée en fonction du nombre de coefficients TF triés par module décroissant.

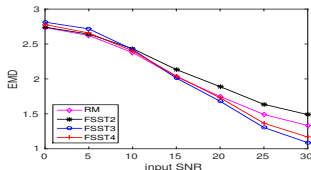


(a): phase polynomiale d'ordre supérieure

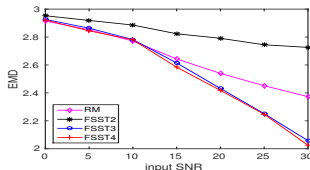


(b): fonction sinusoïde amortie

- **Évaluation de la précision de la localisation des transformées réallouées** en utilisant l'Earth movers distance (EMD).



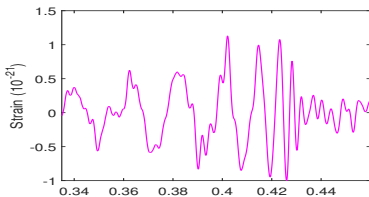
(a): phase polynomiale d'ordre supérieure



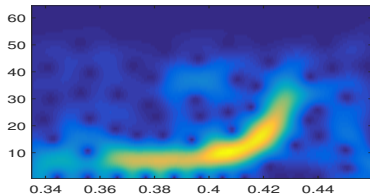
(b): fonction sinusoïde amortie

Synchrosqueezing de la TFCT d'ordres supérieurs (FSSTn)^[6]

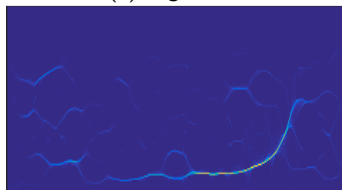
- Une application aux ondes gravitationnelles: Hanford observé GW150914.



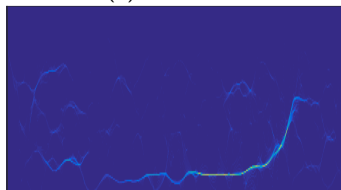
(a): signal



(b): TFCT



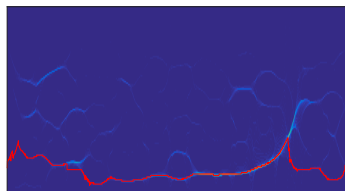
(c): FSST2



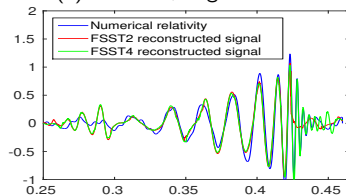
(d): FSST4

Synchrosqueezing de la TFCT d'ordres supérieurs (FSSTn)^[6]

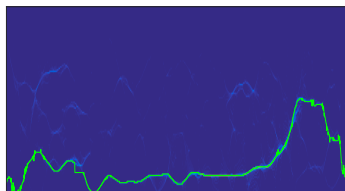
- Une application aux ondes gravitationnelles: Hanford observé GW150914.



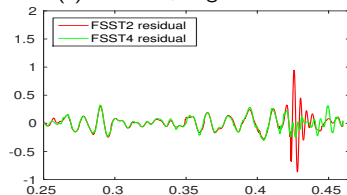
(e): FSST2+ridge estimé



(e): reconstruction



(f): FSST4+ridge estimé



(f): résidus

Plan de l'exposé

1 Contexte

2 Synchrosqueezing de la TFCT d'ordres supérieurs et une application aux ondes gravitationnelles

3 Perspectives

Perspectives

- ★ Étude de l'impact du bruit (Gaussiens, impulsion, Poisson et modèles autorégressifs et moyenne mobile (ARMA) en utilisant L-estimation^[7]) sur les opérateurs de synchrosqueezing^[8].
- ★ Extension de ces techniques au cas multivariés^{[9][10]}.

^[7]I. Djurovic, L. Stankovic, and J. F. Bohme, "Robust l-estimation based forms of signal transforms and time-frequency representations," *IEEE Transactions on Signal Processing*, vol. 51, no. 7, pp. 1753–1761, 2003.

^[8]H. Yang, "Statistical analysis of synchrosqueezed transforms," *Applied and Computational Harmonic Analysis*, 2017.

^[9]A. Ahrabian and D. P. Mandic, "A class of multivariate denoising algorithms based on synchrosqueezing.," *IEEE Trans. Signal Processing*, vol. 63, no. 9, pp. 2196–2208, 2015.

^[10]L. Stanković, D. Mandić, M. Daković, *et al.*, "Time-frequency decomposition of multivariate multicomponent signals," *Signal Processing*, vol. 142, pp. 468–479, 2018.

Merci de votre attention!